

# Пьезоэлектрический механизм ориентации страйп-структур в двумерных электронных системах

Д. В. Филь

Институт монокристаллов НАН Украины, Украина, 61001, Харьков, пр. Ленина, 60  
E-mail: fil@isc.kharkov.com

Статья поступила в редакцию 22 марта 2000 г.

Рассмотрен пьезоэлектрический механизм ориентации страйпов в двумерных электронных системах в гетероструктурах GaAs-AlGaAs. Показано, что с учетом анизотропии упругих модулей и влияния границы образца теория дает ориентацию страйпов вдоль [110] направления, что соответствует экспериментальным данным. Для двухслойной системы найден эффект переориентации страйп-структуры вдоль направления [100] в случае, когда период структуры превышает расстояние между слоями.

Розглянуто п'єзоелектричний механізм орієнтації страйпів в двовимірних електронних системах в гетероструктурах GaAs-AlGaAs. Показано, що з урахуванням анізотропії пружних модулів та впливу межі зразку теорія дає орієнтацію страйпів вздовж [110] напряму, що відповідає експериментальним даним. Для двошарової системи знайдено ефект переорієнтації страйп-структури вздовж напряму [100] у випадку, коли період структури перевищує відстань між шарами.

PACS: 73.20.Dx, 77.65–j

## Введение

Известно, что однородное состояние двумерного электронного газа при низких концентрациях и температурах является неустойчивым. При таких условиях система переходит в фазу вигнеровского кристалла. Для классического вигнеровского кристалла минимум энергии соответствует треугольной решетке [1]. В последнее время большое внимание уделяется исследованию неоднородных электронных состояний в квантовых холловских системах. Для этих объектов можно ожидать большего разнообразия фаз с пространственной модуляцией электронной плотности. Так, в квантовом холловском ферромагнетике решеточные структуры могут формироваться из скирмионных возбуждений [2] (скирмионы в данном случае наряду с топологическим несут и электрический заряд). Поскольку скирмионы представляют собой пространственно протяженные структуры, при достаточной их концентрации решетка скирмионов будет квадратной, а не треугольной. К числу недавних интригующих экспериментальных результатов можно отнести наблюдение силь-

ной анизотропии проводимости при факторе заполнения  $\nu = N + 1/2$  ( $N$  — целое,  $N \geq 4$ ) [3,4]. Физическую природу этого эффекта можно связать с формированием страйп-структуры на верхнем частично заполненном уровне Ландау [5,6].

Для фаз с пространственной модуляцией электронной плотности в двумерных системах, реализованных в гетероструктурах GaAs-AlGaAs, интересным является вопрос о физических механизмах, определяющих ориентацию электронного кристалла относительно кристаллографических осей матрицы окружения. Для страйп-структуры эта проблема представляется наиболее актуальной, так как в данном случае влияние внешних факторов на ориентацию можно наблюдать экспериментально (необходимую информацию можно извлечь из измерений анизотропии проводимости).

Образование фаз с пространственной модуляцией электронной плотности является результатом конкуренции между кулоновским и обменным взаимодействиями (в случае скирмионов также зеemanовским взаимодействием). В системах, обладающих кубической симметрией, эти механизмы изотропны, т.е. они не могут определять

ориентацию электронной структуры относительно кристаллографических осей. Тем не менее в системе имеются механизмы, задающие такую ориентацию. Так, например, при измерении анизотропии проводимости [3,4] наблюдается максимум вдоль оси [110] и минимум вдоль оси [1̄10], т.е. волновой вектор страйп-структуры направлен вдоль одной из осей второго порядка. Анизотропное взаимодействие, задающее ориентацию, должно быть достаточно слабым, чтобы разрешить вращение страйп-структуры при изменении направления тангенциальной компоненты внешнего магнитного поля (этот эффект наблюдается экспериментально [7,8]).

В GaAs естественным кандидатом на такую роль является пьезоэлектрическое взаимодействие, которое остается анизотропным и в кубической системе. Вопрос об анизотропии межэлектронного взаимодействия в пьезоэлектриках рассматривался ранее в [9], где обсуждалось влияние пьезоэлектрического взаимодействия на симметрию решетки вигнеровского кристалла. В работе [9] для описания упругой подсистемы использовалась изотропная модель. Такая модель плохо описывает ситуацию в GaAs, в котором анизотропия упругих модулей достаточно велика. В настоящей работе рассматривается пьезоэлектрический механизм ориентации модулированных электронных структур в GaAs с учетом анизотропии упругих модулей, а также влияния поверхности образца. Большинство полученных результатов относится к случаю страйп-структур. Главный вывод состоит в том, что при ориентации двумерного электронного слоя в плоскости (001) энергия страйп-фазы минимальна, когда угол  $\phi$  между волновым вектором страйп-структуры и осью [100] лежит в диапазоне 30–60° (потенциальный рельеф при этом образует практически плоское плато). Таким образом, среднее направление волнового вектора соответствует экспериментально наблюданной ориентации.

В работе рассмотрены также двухслойные страйп-структуры. Для таких систем обнаружен эффект переориентации. Переориентация возникает, если период структуры превышает расстояние между слоями. В этом случае волновой вектор структуры изменяет свое направление и ориентируется вдоль оси [100]. Эффект легко может быть проверен экспериментально, так как при уменьшении внешнего магнитного поля (увеличении фактора заполнения) период страйп-структуры, который определяется магнитной длиной, должен увеличиваться.

## Монослойная система

Рассмотрим вначале ситуацию, когда двумерный электронный слой помещен в бесграничную пьезоэлектрическую среду, обладающую кубической симметрией. Свойства среды описываются тремя упругими модулями  $c_{11}$ ,  $c_{12}$ ,  $c_{44}$ , диэлектрической константой  $\epsilon$  и одним пьезоэлектрическим модулем  $e_{14}$ . Здесь и далее ограничимся рассмотрением двумерной электронной системы, лежащей в плоскости (001). Неоднородную электронную структуру будем описывать как волну зарядовой плотности с волновым вектором  $\mathbf{b}$ , направленным под углом  $\phi$  к оси [100]:

$$\rho(\mathbf{r}) = \rho_0 \sin(\mathbf{b} \cdot \mathbf{r}_{pl}) \delta(z), \quad (1)$$

где  $\mathbf{r}_{pl}$  — проекция радиус-вектора на плоскость (001), ось  $z$  выбрана вдоль [001]. Плотность энергии системы можно записать в виде

$$F = \frac{\mathbf{E} \cdot \mathbf{D}}{8\pi} + \frac{\sigma_{ik} u_{ik}}{2}, \quad (2)$$

где

$$D_i = \epsilon E_i - 4\pi \beta_{ikl} u_{kl} \quad (3)$$

— вектор электрической индукции;

$$\sigma_{ik} = \lambda_{iklm} u_{lm} + \beta_{lik} E_l \quad (4)$$

— тензор напряжений;  $u_{ik}$  — тензор деформации;  $\mathbf{E}$  — напряженность электрического поля;  $\lambda_{iklm}$  — тензор упругих модулей;  $\beta_{lik}$  — тензор пьезоэлектрических модулей (в кристаллах кубической симметрии  $\beta = e_{14}/2$  при  $i \neq k \neq l$  и  $\beta = 0$  в остальных случаях). Величины  $\mathbf{D}$  и  $\sigma_{ik}$  удовлетворяют уравнениям электростатики и теории упругости соответственно:

$$\operatorname{div} \mathbf{D} = 4\pi\rho, \quad \frac{\partial \sigma_{ik}}{\partial x_k} = 0. \quad (5)$$

Вычисление полной энергии с учетом (5) и граничного условия для  $\sigma_{ik}$  ( $\sigma_{ik} n_k = 0$  на свободной границе) дает

$$E = \int d^3r F = \frac{1}{2} \int d^3r \rho(\mathbf{r}) \Phi(\mathbf{r}), \quad (6)$$

где  $\Phi$  — скалярный потенциал ( $\mathbf{E} = -\nabla \Phi$ ). Значение  $\Phi$  находится из решения системы (5). Переходя в (5) к фурье-компонентам  $\Phi$  и поля смешений  $\mathbf{u}$ , имеем

$$M_{ik} V_k = Q_i, \quad (7)$$

где

$$\hat{M} = \begin{pmatrix} \hat{\Lambda} & \hat{T} \\ -\hat{T}^+ & \epsilon q^2 / 4\pi \end{pmatrix} \quad (8)$$

$$c \Lambda_{ik} = \lambda_{iklm} q_l q_m, T_i = -\beta_{ikl} q_k q_l,$$

$$V_i = \begin{cases} u_{iq} & i = 1, 2, 3 \\ \Phi_q & i = 4 \end{cases}, Q_i = \begin{cases} 0 & i = 1, 2, 3 \\ \rho_q & i = 4 \end{cases} \quad (9)$$

( $\rho_q$  — фурье-компоненты электронной плотности).

Из (7) имеем

$$\Phi_q = M_{44}^{-1}(q_{pl}, q_z) \rho_q \quad (10)$$

( $q_{pl}$  — проекция  $\mathbf{q}$  на плоскость (001)). Выполнив обратное фурье-преобразование и подставив результат в (6), найдем

$$E = \frac{\rho_0^2 S}{8\pi} \int_{-\infty}^{\infty} dq_z M_{44}^{-1}(\mathbf{b}, q_z) \quad (11)$$

( $S$  — площадь слоя). Используя малость константы пьезоэлектрического взаимодействия, запишем энергию в виде суммы

$$E = E_C + E_{pe}^0 + E_{pe}^{\text{an}}, \quad (12)$$

где

$$E_C = \frac{\pi \rho_0^2 S}{2\epsilon b} \quad (13)$$

— кулоновская энергия;  $E_{pe}^0$ ,  $E_{pe}^{\text{an}}$  — изотропная и анизотропная части энергии пьезоэлектрического взаимодействия между электронами. Анизотропную часть запишем в виде

$$E_{pe}^{\text{an}} = \chi E_C F(\phi), \quad (14)$$

где  $\chi = e_{14}^2 / \epsilon c_{11}$  — малый параметр, по которому делалось разложение. Функция  $F$  имеет амплитуду порядка единицы и зависит от соотношения между упругими модулями.

Для изотропной среды ( $c_{12} = c_{11} - 2c_{44}$ )

$$F(\phi) = A \cos 4\phi, \quad (15)$$

где

$$A = \frac{9\pi}{32} \left( 1 - \frac{c_{11}}{3c_{44}} \right). \quad (16)$$

Формула (15) несколько другим способом была получена в работе [9]. Подстановка в (16) значений  $c_{11}$ ,  $c_{44}$  для GaAs дает  $A \approx 0,3$  и минимум

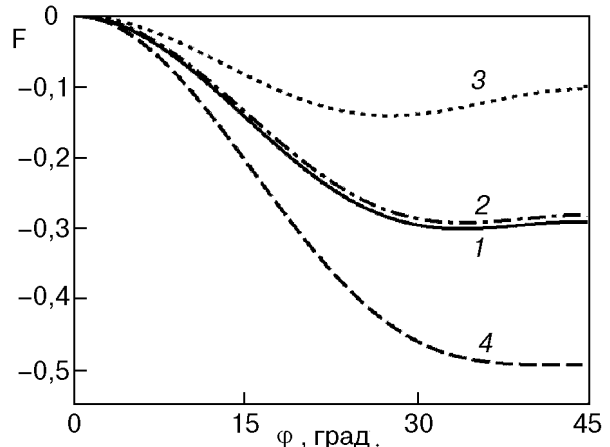


Рис. 1. Зависимость функции  $F = E_{pe}^{\text{an}} / (\chi E_C)$  от ориентации страйпов.  $\phi$  — угол между волновым вектором страйп-структурой и осью [100]. Кривая 1 — безграничный случай; 2 —  $d/a = 0$ ; 3 —  $d/a = 0,15$ ; 4 —  $d/a = 0,5$ .

энергии при  $\phi = \pi/4$ . Однако если использовать вместо  $c_{11}$ ,  $c_{44}$  усредненные значения квадратов скоростей продольного и поперечного звука соответственно, то амплитуда  $A$  практически зануляется, т.е. даже знак анизотропии остается неопределенным. Таким образом, учет анизотропии упругих модулей в данном случае является принципиальным.

Для анизотропного случая интегрирование в (11) было выполнено численно с использованием известных значений упругих модулей для GaAs ( $c_{11} = 12,3$ ,  $c_{12} = 5,7$ ,  $c_{44} = 6,0$ , все в  $10^{11}$  дин/ $\text{см}^2$ ). Результаты расчета для функции  $F(\phi)$  приведены на рис. 1 (кривая 1). Из полученной зависимости следует, что абсолютный минимум энергии соответствует направлению волнового вектора под углом  $\phi \approx 30^\circ$  к оси [100]. Вариация энергии  $\Delta E_{a1}$  в диапазоне  $30^\circ < \phi < 60^\circ$  примерно в 30 раз меньше, чем полная вариация энергии  $\Delta E_a$  во всем диапазоне углов  $\phi$ . При температурах  $\Delta E_{a1} < k_B T < \Delta E_a$  все конфигурации в диапазоне  $30^\circ < \phi < 60^\circ$  являются практически равновероятными. Усредненное направление волнового вектора страйп-структурой лежит вдоль оси [110]. Наблюдение ориентации страйпов вдоль низкосимметричного направления возможно лишь при очень низких температурах  $k_B T < \Delta E_{a1}$ . Абсолютная величина энергии анизотропии определяется параметром  $\chi$ , который для GaAs ( $e_{14} = 0,15$  Кл/ $\text{м}^2$ ,  $\epsilon = 12,5$ ) порядка  $2 \cdot 10^{-4}$ .

Существенным является вопрос, насколько полученный результат чувствителен к малым изменениям упругих модулей. Вычисления при различных значениях модуля  $c_{12}$  дают следующие результаты. При уменьшении модуля  $c_{12}$  локаль-

ный максимум при  $\phi = \pi/4$  переходит в глобальный минимум (при  $c_{12} \approx 5 \cdot 10^{11}$  дин/см<sup>2</sup>). При увеличении этого модуля минимум в районе  $\phi = 30^\circ$  становится более резким. В GaAs реализуется пограничная ситуация, когда потенциальный рельеф в диапазоне  $30^\circ < \phi < 60^\circ$  очень пологий.

Найденная зависимость энергии взаимодействия от угла  $\phi$  сохранится, если вместо распределения электронной плотности в виде (1) использовать более реалистичное выражение. Замена (1) на сумму кратных гармоник с волновыми векторами  $q_n = nb$  приведет к умножению  $E_C$  и  $E_{pe}^{\text{an}}$  на одинаковый множитель, т.е. функция  $F(\phi)$  не изменится. Для квадратной решетки это, вообще говоря, не так. Для нее решение можно представить в виде суммы по векторам обратной решетки (с соответствующими весами), и каждый член суммы зависит от направления соответствующего вектора обратной решетки. Решение вопроса о минимуме энергии требует знания конкретного вида распределения электронной плотности. В простейшем случае, когда  $\rho(\mathbf{r})$  можно представить в виде суммы двух волн плотности с перпендикулярными векторами, эти векторы будут ориентированы вдоль [110] и [110] направлений. Для треугольной решетки (описываемой как сумма трех волн зарядовой плотности с волновыми векторами, направленными под углами  $2\pi/3$  друг относительно друга) учет анизотропии упругих модулей приводит к анизотропии энергии пьезоэлектрического взаимодействия (в изотропной модели, как следует из (15), такой эффект отсутствует).

Минимум энергии реализуется при направлении одного из волновых векторов под углом  $\phi = k\pi/6$  ( $k$  – целое) к оси [100]. Величина анизотропии для треугольной решетки на два порядка меньше, чем для страйп-структурь.

В рамках использованного подхода легко учесть конечную толщину электронного слоя, включив в формулу (11) соответствующий форм-фактор. Однако реально период электронной структуры существенно больше толщины слоя, поэтому учет такой поправки не приводит к качественным изменениям.

Поскольку двумерные слои в гетероструктурах обычно создаются вблизи поверхности образца (характерное расстояние между поверхностью и электронным слоем  $d \sim 5 \cdot 10^3$  Å), принципиальным является вопрос о влиянии поверхности на пьезоэлектрический механизм ориентации. В данном случае для нахождения скалярного потенциала систему уравнений (5) необходимо решать с учетом граничных условий. Модуляция электронной плотности в волне зарядовой плотности имеет одномодовую структуру, и решение системы (5) можно искать в виде

$$\begin{aligned} u_i &= u_i(z) e^{i\mathbf{b}_i \mathbf{r}_{pl}} + \text{c.c.}, \\ \Phi &= \Phi(z) e^{i\mathbf{b}_i \mathbf{r}_{pl}} + \text{c.c.}, \end{aligned} \quad (17)$$

где  $u_i(z)$  и  $\Phi(z)$  удовлетворяют системе дифференциальных уравнений

$$\begin{aligned} \left( c_{44}(\partial_z^2 - b_y^2) - c_{11}b_x^2 \right) u_x - \tilde{c}b_x(b_y u_y - i\partial_z u_z) - ie_{14}b_y \partial_z \Phi &= 0, \\ \left( c_{44}(\partial_z^2 - b_x^2) - c_{11}b_y^2 \right) u_y - \tilde{c}b_y(b_x u_x - i\partial_z u_z) - ie_{14}b_x \partial_z \Phi &= 0, \\ (c_{11}\partial_z^2 - c_{44}b^2) u_z + i\tilde{c}\partial_z(b_x u_x + b_y u_y) + e_{14}b_x b_y \Phi &= 0, \\ \varepsilon(\partial_z^2 - b^2)\Phi + 4\pi e_{14} \left( i\partial_z(b_x u_y + b_y u_x) - b_x b_y u_z \right) &= 0 \end{aligned} \quad (18)$$

( $\tilde{c} = c_{12} + c_{44}$ ) с граничными условиями

$$\begin{aligned} \sigma_{iz}|_{z=d-0} &= 0, \quad \Phi|_{z=d-0} = \Phi|_{z=d+0}, \quad -D_z|_{z=d-0} = (\partial_x \Phi)|_{z=d+0}, \quad \sigma_{iz}|_{z=-0} = \sigma_{iz}|_{z=+0}, \\ \Phi|_{z=-0} &= \Phi|_{z=+0}, \quad u_i|_{z=-0} = u_i|_{z=+0}, \quad D_z|_{z=+0} - D_z|_{z=-0} = -2\pi i p_0. \end{aligned} \quad (19)$$

В формулах (19)

$$\begin{aligned} \sigma_{x(y)z} &= c_{44}(\partial_z u_{x(y)} + ib_{x(y)} u_z) - i \frac{e_{14}}{2} b_{y(x)} \Phi, \quad \sigma_{zz} = c_{11}\partial_z u_z + ic_{44}(b_x u_x + b_y u_y), \\ D_z &= -\varepsilon \partial_z \Phi - i2\pi e_{14}(b_x u_y + b_y u_x). \end{aligned} \quad (20)$$

Решение системы (18) сводится к отысканию корней характеристического уравнения и определению с учетом граничных условий значений коэффициентов в записи общего решения. Такая процедура при фиксированных значениях параметров была выполнена численно. Энергия была представлена в виде (12), в котором величина кулоновской энергии

$$E'_C = \frac{\pi \rho_0^2 S}{2\epsilon b} \left( 1 + \frac{\epsilon - 1}{\epsilon + 1} e^{-2bd} \right), \quad (21)$$

а анизотропная добавка к энергии

$$E_{pe}^{\text{an}} = \chi E'_C F(\phi). \quad (22)$$

Зависимость  $F(\phi)$  для различных значений параметра  $d/a$  ( $a = 2\pi/b$  — период страйп-структурьи) приведена на рис. 1. При  $d/a = 0$  (электронный слой лежит на поверхности образца) расчет дает зависимость (кривая 2), близкую к случаю безграничной среды. При увеличении этого параметра вначале минимум вблизи  $\phi \approx 30^\circ$  становится более резким (кривая 3), а затем снова пологим, и при  $d/a \approx 0,5$  слабовыраженная двухъямная структура вблизи  $\phi = \pi/4$  исчезает полностью (кривая 4). В последнем случае величина анизотропии максимальна. При дальнейшем увеличении  $d/a$  зависимость выходит на кривую 1. Таким образом, граница образца практически не влияет на ориентацию страйпов (исключение составляет случай, когда отношение  $d/a$  попадает в достаточно узкий диапазон значений  $\approx 0,1\text{--}0,2$ ). Полученные результаты свидетельствуют в пользу того, что рассмотренный механизм анизотропии качественно правильно описывает экспериментальную ситуацию.

### Двухслойная система

Настоящий раздел посвящен исследованию пьезоэлектрического механизма ориентации страйп-структур в двухслойных системах. Существует две причины для рассмотрения этого вопроса. Первая состоит в том, что двухслойные системы часто используются в экспериментальных исследованиях. Поэтому представляется интерес обобщить результаты предыдущего раздела на случай двух близко расположенных электронных слоев, в каждом из которых сформирована страйп-структура. Другая, на наш взгляд, более важная причина связана с поиском эффектов, которые можно было бы использовать для экспериментального доказательства определяющей роли пьезоэлектрического взаимодействия в ориентации

электронных структур. В двухслойной системе появляется дополнительный параметр — отношение расстояния между слоями к периоду страйп-структуры. Поскольку период страйп-структуры связан с магнитной длиной, этот параметр легко варьировать в эксперименте, меняя величину внешнего магнитного поля. Если анизотропия пьезоэлектрического взаимодействия чувствительна к вариации этого параметра, то такой эффект может быть зафиксирован экспериментально при изучении анизотропии проводимости как функции внешнего магнитного поля. Как показывает дальнейший расчет, именно такая ситуация реализуется в двухслойных системах.

Поскольку наличие границы не приводит к качественным изменениям, в данном разделе мы рассмотрим случай безграничной среды. В двухслойной системе кулоновское взаимодействие приводит к относительному смещению волн зарядовой плотности в соседних слоях на половину периода. Распределение электронной плотности имеет вид

$$\rho(\mathbf{r}) = \rho_0 \sin(\mathbf{b} \cdot \mathbf{r}_p) \left[ \delta(z - s/2) - \delta(z + s/2) \right] \quad (23)$$

( $s$  — расстояние между слоями). Вычислив скалярный потенциал и подставив его в (6), имеем

$$E = \frac{\rho_0^2 S}{4\pi} \int_{-\infty}^{\infty} dq_z M_{44}^{-1}(\mathbf{b}, q_z) (1 - \cos(q_z s)). \quad (24)$$

Для иллюстрации вычислим величину  $E_{pe}^{\text{an}}$  для случая изотропной упругой среды. Подставив в (24)  $c_{12} = c_{11} - 2c_{44}$ , найдем

$$E_{pe}^{\text{an}} = A \chi E_C \cos 4\phi, \quad (25)$$

где

$$A = 2 \int_{-\infty}^{\infty} dz \frac{1 - \cos(zs)}{(1 + z^2)^4} \left[ \frac{c_{11}}{c_{44}} - z^2 \left( 8 \frac{c_{11}}{c_{44}} + 9 \right) \right]. \quad (26)$$

Вычисление интеграла в (26) дает

$$A = \frac{9\pi}{16} \left\{ 1 - \frac{c_{11}}{3c_{44}} - e^{-sb} \left[ (1 + sb) \left( 1 - \frac{c_{11}}{3c_{44}} \right) + (sb)^2 \left[ \frac{2c_{11}}{3c_{44}} - \frac{sb}{3} \left( 1 - \frac{c_{11}}{c_{44}} \right) \right] \right] \right\}. \quad (27)$$

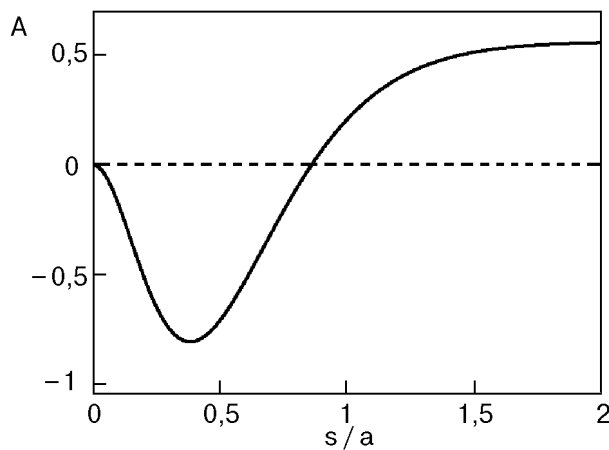


Рис. 2. Зависимость амплитуды энергии анизотропии  $A$  (см. (25)) в двухслойной системе в изотропной упругой среде от расстояния между слоями.

График зависимости величины  $A$  от параметра  $s/a$  при  $c_{11}/c_{44} = 12,3/6$  представлен на рис. 2. Как видно из приведенной зависимости, при  $s/a < 1$  анизотропная добавка к энергии изменяет знак и происходит переориентация страйпов вдоль [010] направления. Аналогичный эффект имеет место и для анизотропной модели. На рис. 3 представлена зависимость энергии от угла  $\phi$  при различных значениях параметра  $s/a$ . На рис. 4 приведена зависимость положения минимума, а также зависимость глубины минимума относительно значений энергии при  $\phi = 0$  и  $\phi = \pi/4$  как функций параметра  $s/a$ . Как видно из приведенных графиков, при  $s/a > 1,5$  взаимодействие между слоями существенно не влияет на ориентацию страйпов. В диапазоне  $0,8 < s/a < 1,5$  это взаимодействие приводит к стабилизации страйп-структур с волновым вектором, лежащим вдоль низкосимметричного направления. При  $s/a < 0,8$ ,

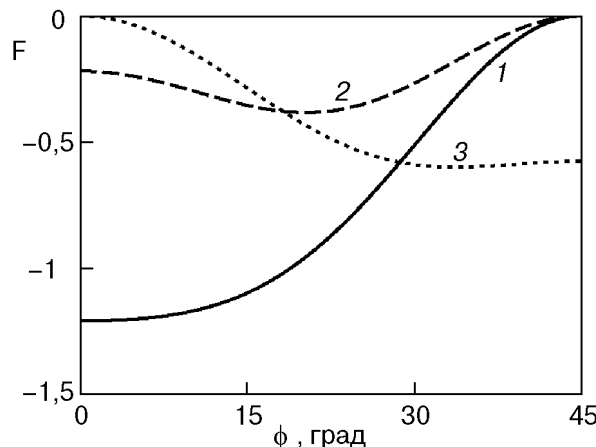


Рис. 3. Рассчитанная зависимость функции  $F$  от ориентации страйпов в двухслойной системе для GaAs при различных значениях параметра  $s/a$ : 0,75 (1); 1 (2); 3 (2).

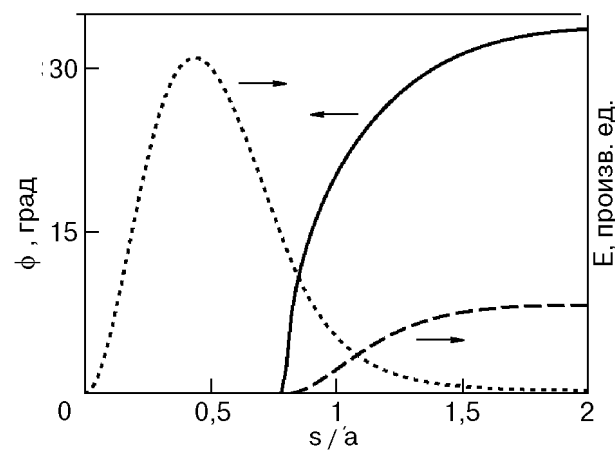


Рис. 4. Зависимость положения  $\phi$  и глубины  $E$  минимума энергии от расстояния между слоями. Сплошная кривая — положение минимума, штриховая кривая — глубина минимума относительно значения энергии при  $\phi = 0$ , пунктирная кривая — глубина минимума относительно энергии при  $\phi = \pi/4$ .

минимум энергии реализуется при их ориентации вдоль одной из осей четвертого порядка.

Как уже отмечалось, полученный результат имеет важное значение для постановки эксперимента. Период страйп-структуры определяется магнитной длиной, и страйп-фазы при  $v = N + 1/2$  имеют различные периоды при различных значениях  $N$ . Предсказание теории состоит в том, что в двухслойной системе при соответствующем выборе расстояния между слоями страйп-фазы при различных факторах заполнения будут ориентированы по разному (вдоль [110] при малых  $N$  и вдоль [100] при больших  $N$ ). Эффект легко может быть обнаружен экспериментально при измерении угловой зависимости проводимости, что будет убедительной экспериментальной проверкой рассмотренной модели. Если эффект будет экспериментально обнаружен, то можно предложить еще одно его применение в качестве косвенного метода определения периода страйп-структуры.

## Выводы

В работе показано, что пьезоэлектрическое взаимодействие в гетероструктурах GaAs может играть существенную роль в ориентации неоднородных двумерных электронных структур относительно кристаллографических осей матрицы окружения. С учетом конкретной анизотропии упругих модулей в GaAs была найдена анизотропная добавка к энергии страйп-структуры, реализованной на плоскости (001).

Для монослоиной системы в безграничной среде минимум энергии соответствует ориентации

волнового вектора страйп-структурь под углом  $\phi \approx 30^\circ$  к оси [100]. Однако локальный максимум при  $\phi = \pi/4$  настолько пологий, что фактически все направления в диапазоне  $30^\circ < \phi < 60^\circ$  являются равновероятными. т.е. в среднем волновой вектор направлен вдоль оси [110].

Проанализировано влияние поверхности образца на пьезоэлектрический механизм ориентации страйпов в GaAs. Получено, что в случае расположения двумерного электронного слоя на поверхности (физическi это соответствует глубине электронного слоя много меньшей периода электронной структуры) поведение анизотропной добавки к энергии практически не меняется по сравнению со случаем безграничной среды. При конечном соотношении между глубиной электронного слоя  $d$  и периодом страйп-структурь  $a$  происходят небольшие качественные изменения. Когда это отношение  $\approx 0,5$ , локальный максимум при  $\phi = \pi/4$  переходит в глобальный минимум. При  $d/a \approx 0,15$ , напротив, стабилизируется ориентация вдоль низкосимметричного направления  $\phi \approx 30^\circ$ .

Полученные результаты объясняют экспериментально наблюдаемую ориентацию страйпов вдоль [110] направления в квантовой холловской системе. Абсолютное значение энергии анизотропии достаточно мало (примерно на четыре порядка меньше кулоновской энергии), поэтому внешние воздействия (например внешнее магнитное поле, содержащее параллельную электронному слою компоненту) могут приводить к переориентации страйп-структур, что также наблюдается экспериментально.

Рассмотрен пьезоэлектрический механизм ориентации страйпов в двухслойных электронных системах (со слоями, параллельными плоскости (001)). В таких системах модель предсказывает эффект переориентации страйпов вдоль оси [100] при уменьшении расстояния между слоями либо увеличении периода страйп-структурь (отношение этих двух длин должно стать меньше единицы). Наблюдение такого эффекта было бы экспе-

риментальным доказательством того, что пьезоэлектрический механизм играет основную роль в ориентации электронных структур в двумерных электронных системах, реализованных на гетеропереходах AlGaAs-GaAs.

Это исследование было частично поддержано грантом INTAS No 97-0972 и Государственным фондом фундаментальных исследований Украины, проект № 2.4/337.

1. L. Bonsall and A. A. Maradudin, *Phys. Rev.* **B15**, 1959 (1977).
2. L. Brey, H. A. Fertig, R. Cote, and A. H. MacDonald, *Phys. Rev. Lett.* **75**, 2562 (1995).
3. M. P. Lilly, K. B. Cooper, J. P. Eisenstein, L. N. Pfeiffer, and K. W. West, *Phys. Rev. Lett.* **82**, 394 (1999).
4. R. R. Du, D. C. Tsui, H. L. Stormer, L. N. Pfeiffer, and K. W. West, *Solid State Commun.* **109**, 389 (1999).
5. M. M. Fogler, A. A. Koulakov, and B. I. Shklovskii, *Phys. Rev.* **B54**, 1853 (1996); A. A. Koulakov, M. M. Fogler, and B. I. Shklovskii, *Phys. Rev. Lett.* **76**, 499 (1996).
6. R. Moessner and J. T. Chalker, *Phys. Rev.* **B54**, 5006 (1996).
7. W. Pan, R. R. Du, H. L. Stormer, D. C. Tsui, L. N. Pfeiffer, K. W. Baldwin, and K. W. West, *Phys. Rev. Lett.* **83**, 820 (1999).
8. M. P. Lilly, K. B. Cooper, J. P. Eisenstein, L. N. Pfeiffer, and K. W. West, *Phys. Rev. Lett.* **83**, 824 (1999).
9. Э. И. Рашба, Е. Я. Шерман, *ФТП* **21**, 1957 (1987).

### Piezoelectric mechanism of orientation of stripe structures in two-dimensional electron systems

D. V. Fil

A piezoelectric mechanism of stripe orientation in the two-dimensional electron systems in GaAs-Al-GaAs heterostructures is considered. It is shown that according to the theory the preferable stripe orientation is along the [110] direction taking into consideration the anisotropy of the elastic moduli and the influence of the sample boundaries. It corresponds to the experimental results. The effect of the stripe structure re-orientation along the [100] direction in a double layer system is found for the stripe structure parameter large, than interlayer distance.